



P1726R1P1

1 / 26

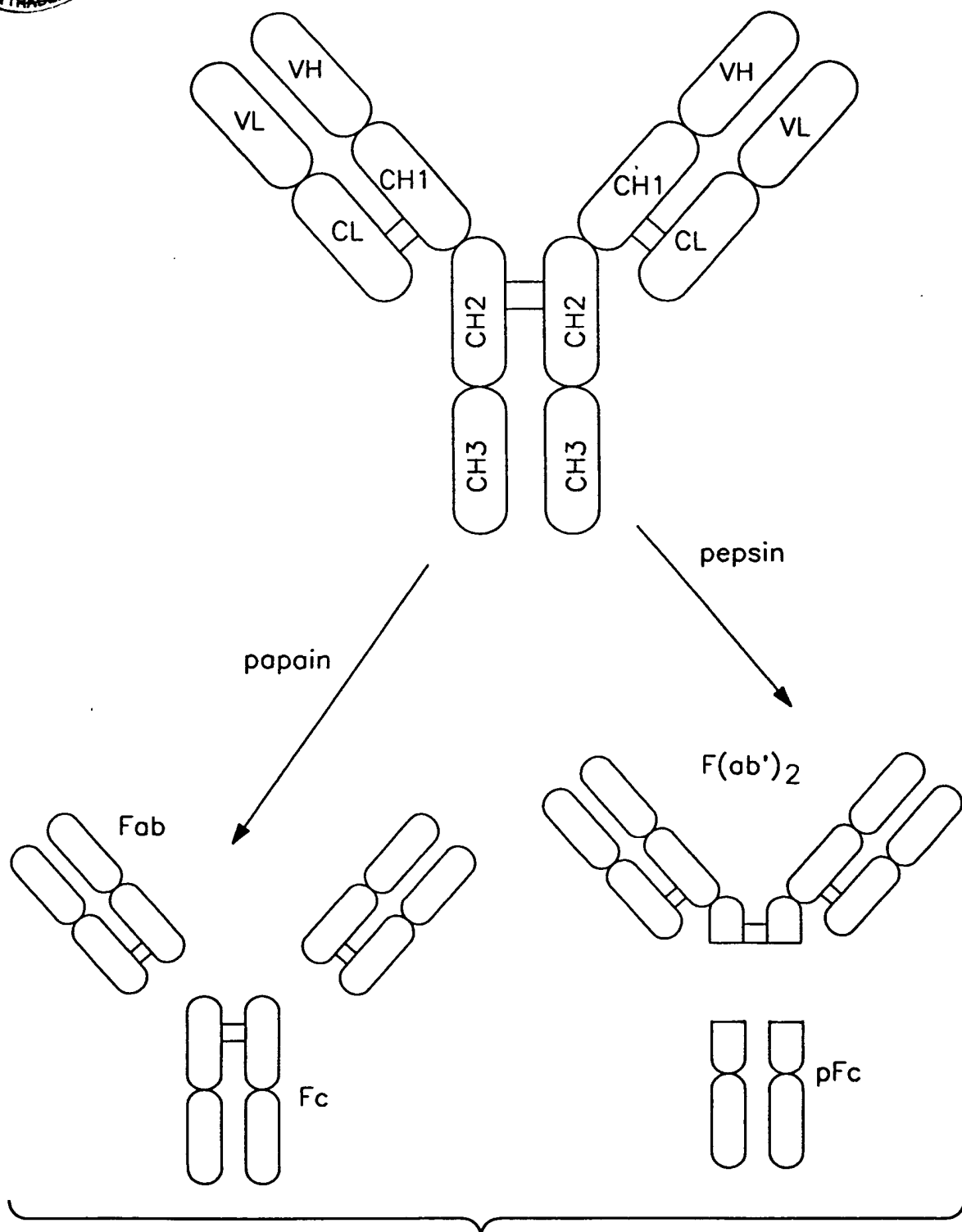
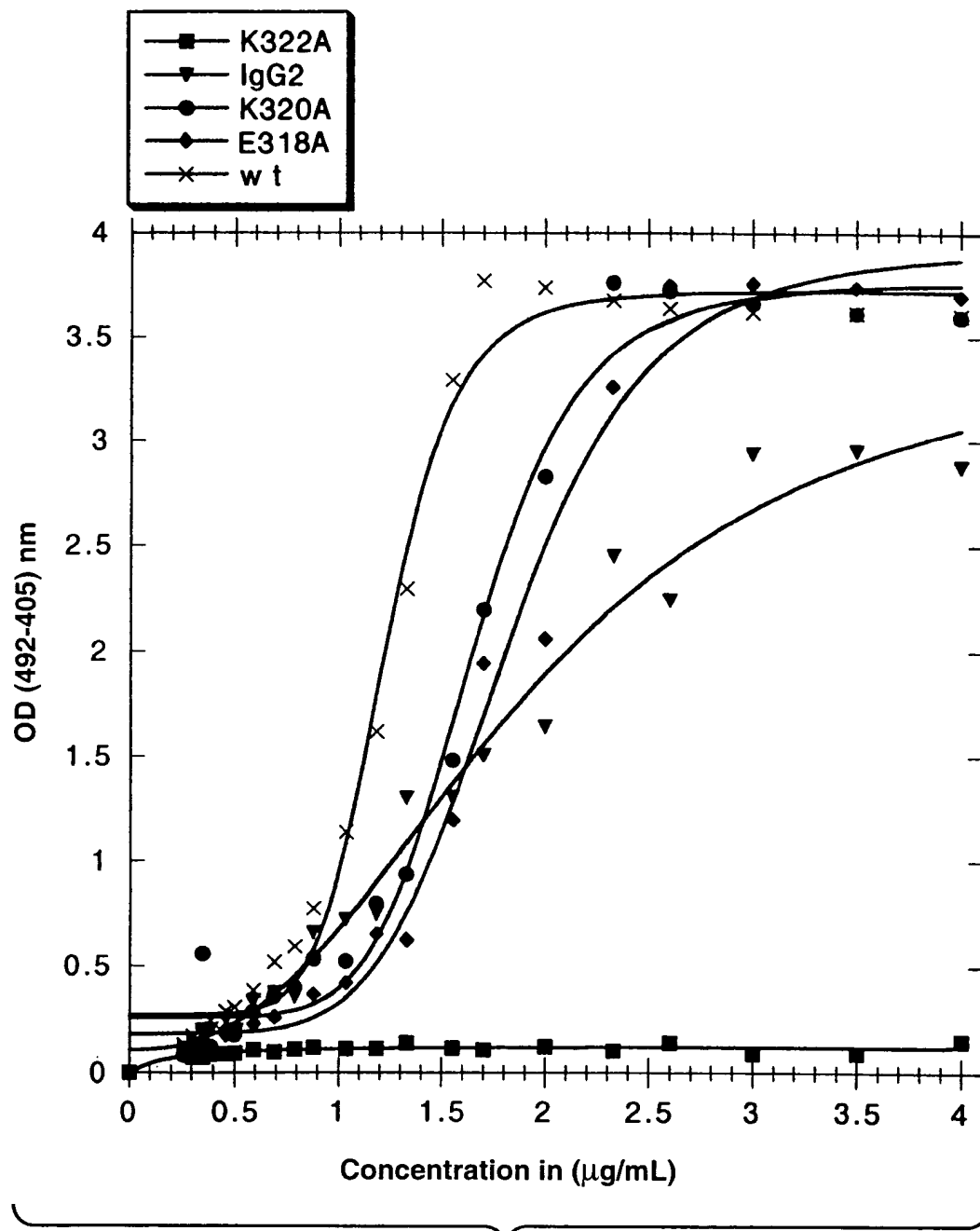
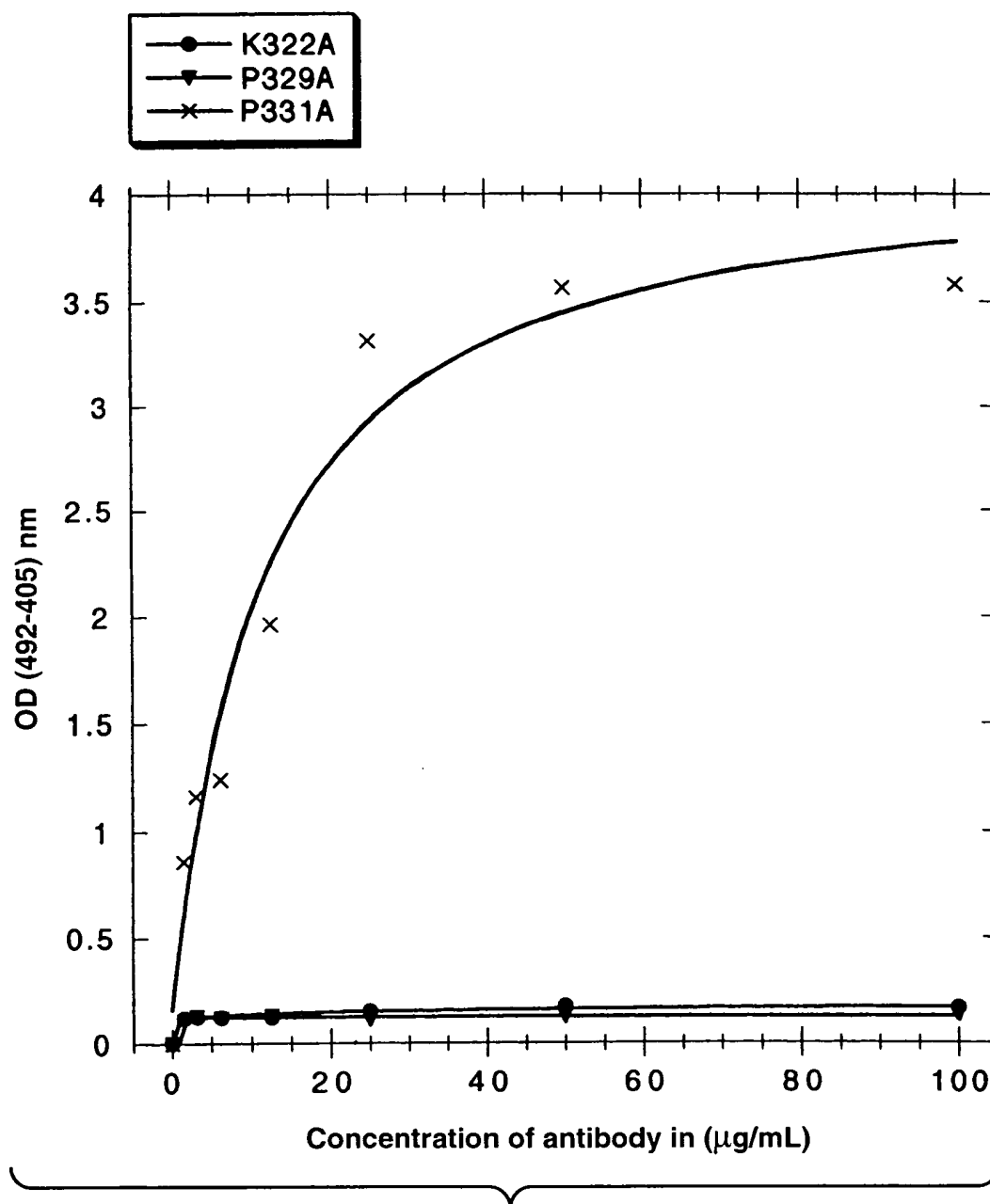


FIG. 1

**FIG. 2**

**FIG. 3**

(E27) - Light Chain

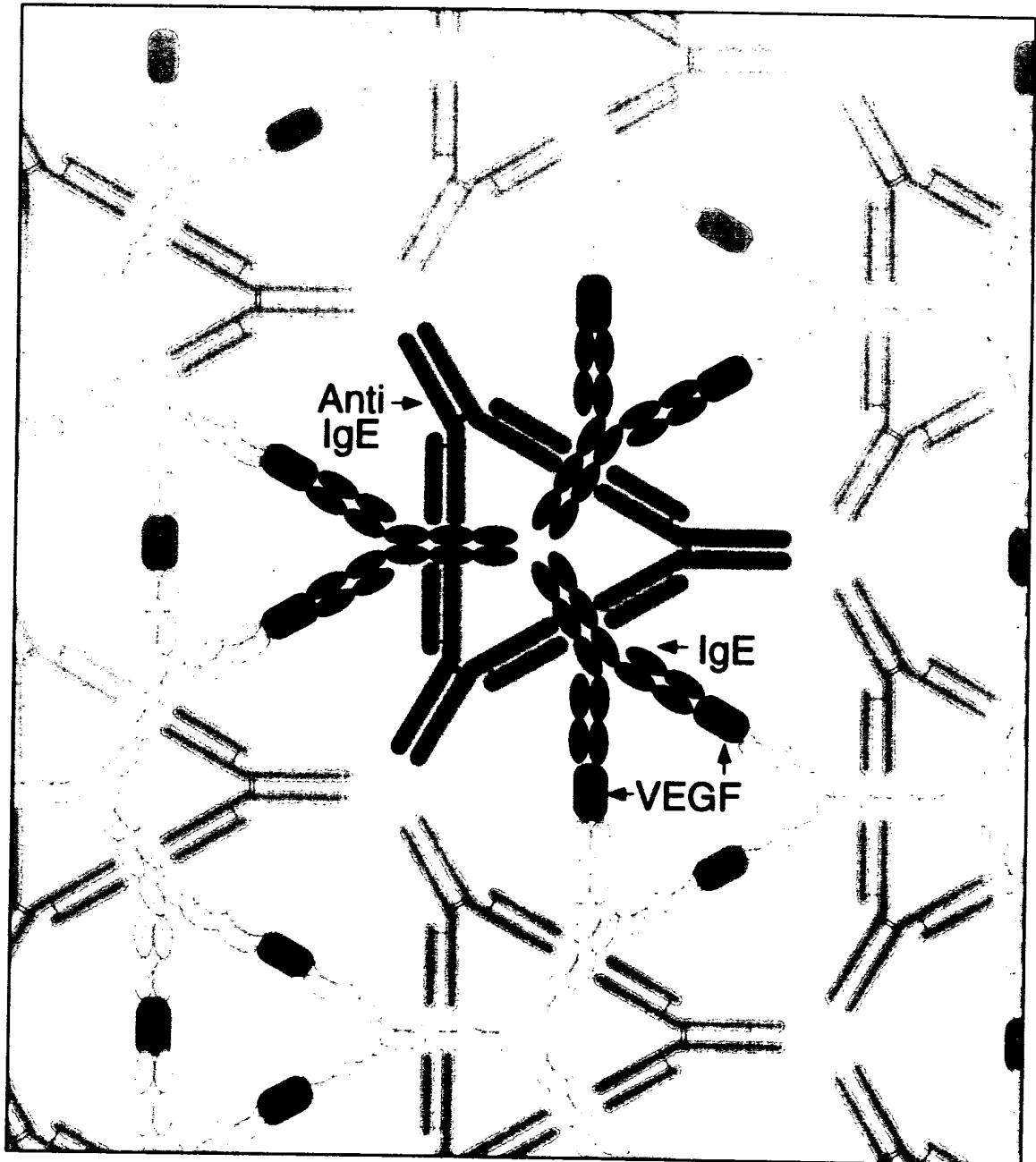
DIQLTQSPSS LSASVGDRVT ITCRASKPVD GEGDSYLNWY QQKPGKAPKL LIYAASYLES GVPSRFSGSG
SGTDFTLTIS SLOPEDFATY YCQOSHEDPY TFGQGTKVEI KRTVAAPSVF IFPPSDEQLK SGTASVVCLL
NNFYPPREAKV QWKVDNALQS GNSQESVTEQ DSKDSTYSLS STLTLSKADY EKHKVYACEV THQGLSSPVT
KSFNRGEC

FIG. 4A

(E27) - Heavy Chain

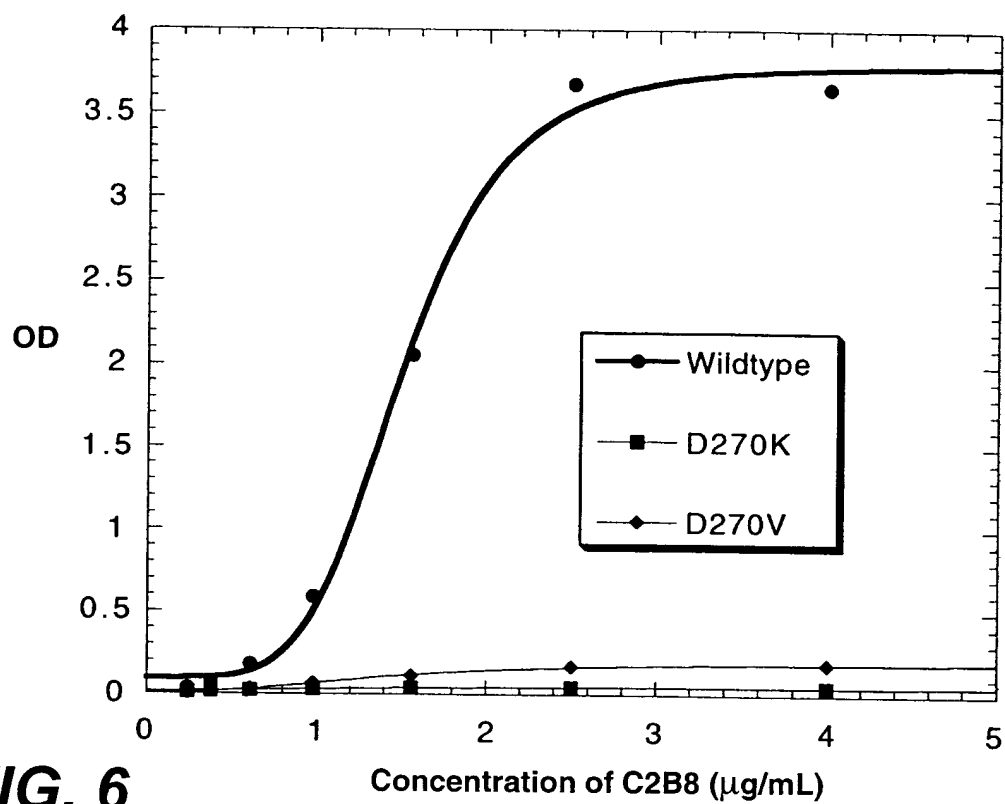
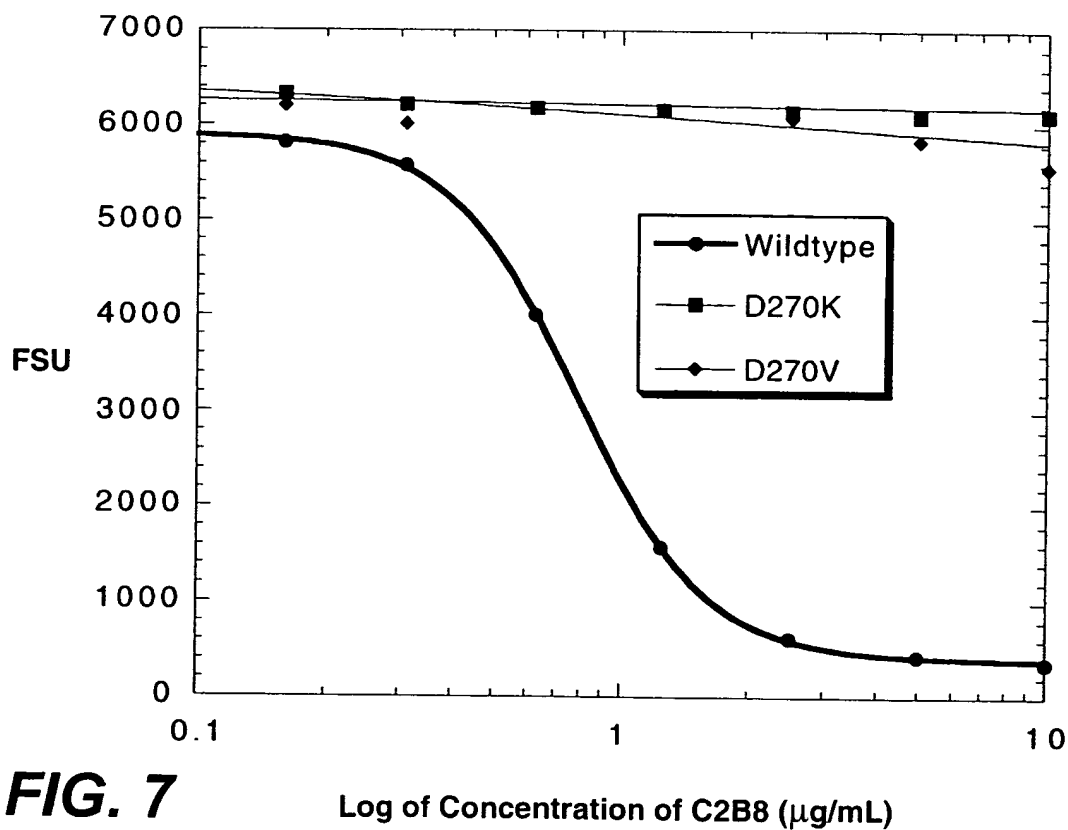
EVQLVESGGG LVQPGGSLRL SCAVSGYSIT SGYSWNWIRQ APGKGLEWVA SIKYSGETKY NPSVKGRITI
SRDDSKNTFY LQMNSLRAED TAVYYCARGS HYFGHWHFV WGQGTLLVTVS SASTKGPSVF PLAPSSKSTS
GGTAALGCLV KDYFPEPVTV SWNSGALTSG VHTFPAVLQS SGLYSLSSVV TVPSSSLGTQ TYICNVNHHK
SNTKVDKKVE PKSCDKTHC PPCPAPELLG GPSVFLFPPK PKDTLMISRT PEVTCVVVDV SHEDPEVKFN
WYVDGVEVHN AKTKPREEQY NSTYRVVSVL TVLHQDWLNG KEYKCKVSNK ALPAPIEKTI SKAKGQPREP
QVYTLPPSRE EMTKNQVSLT CLVKGFYPSD IAVEWESNGQ PENNYKTTTP VLDSDGGSFFL YSKLTVDKSR
WQQGNVFSCS VMHEALHNHY TQKSLSLSPG K

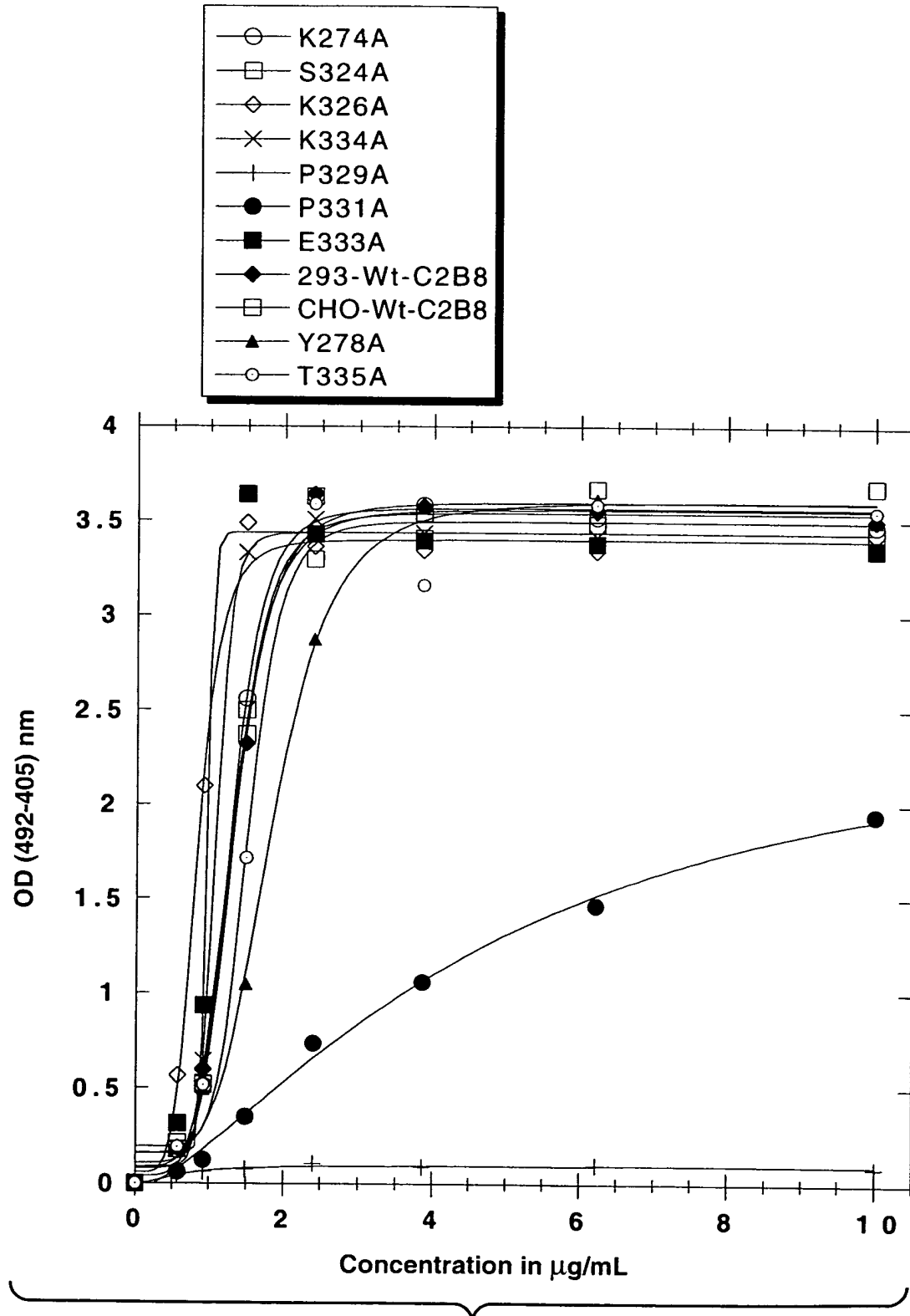
FIG. 4B

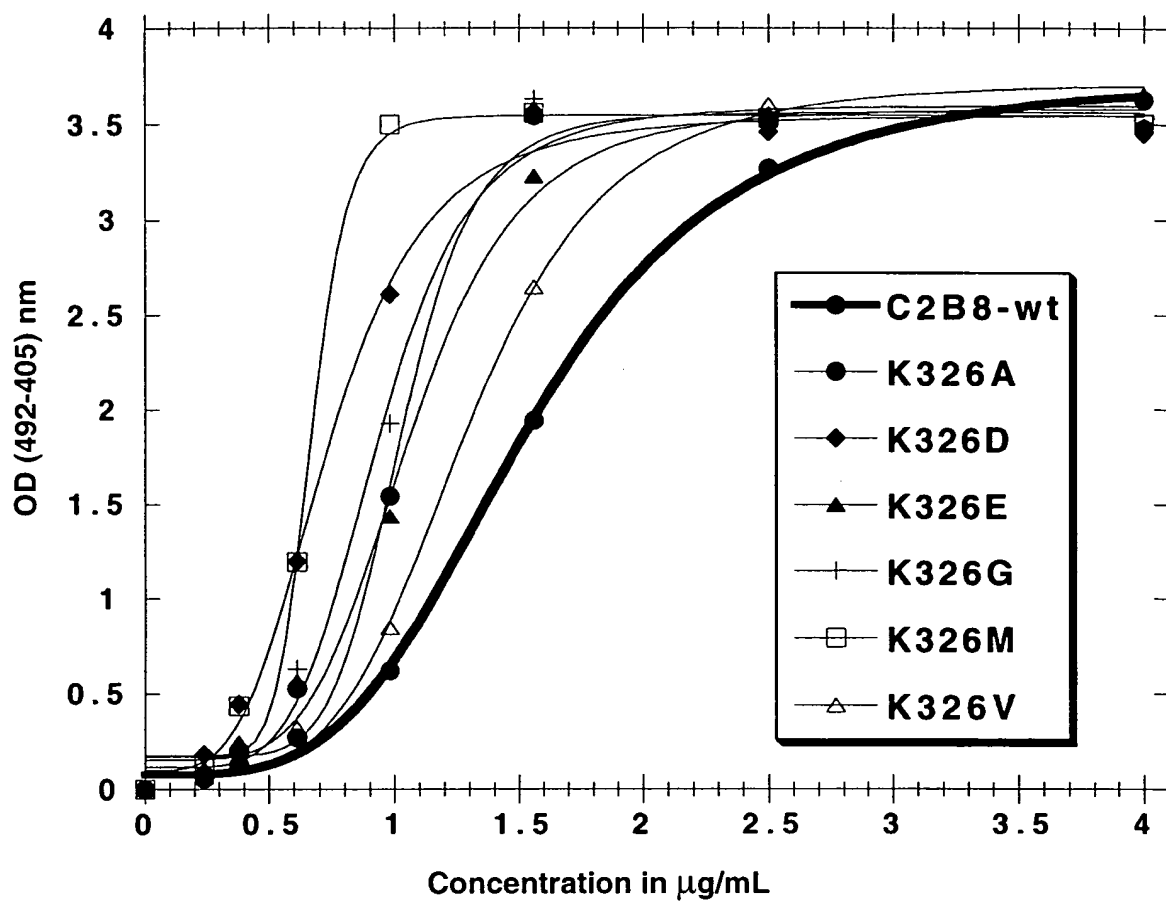


BEST AVAILABLE COPY

FIG. 5

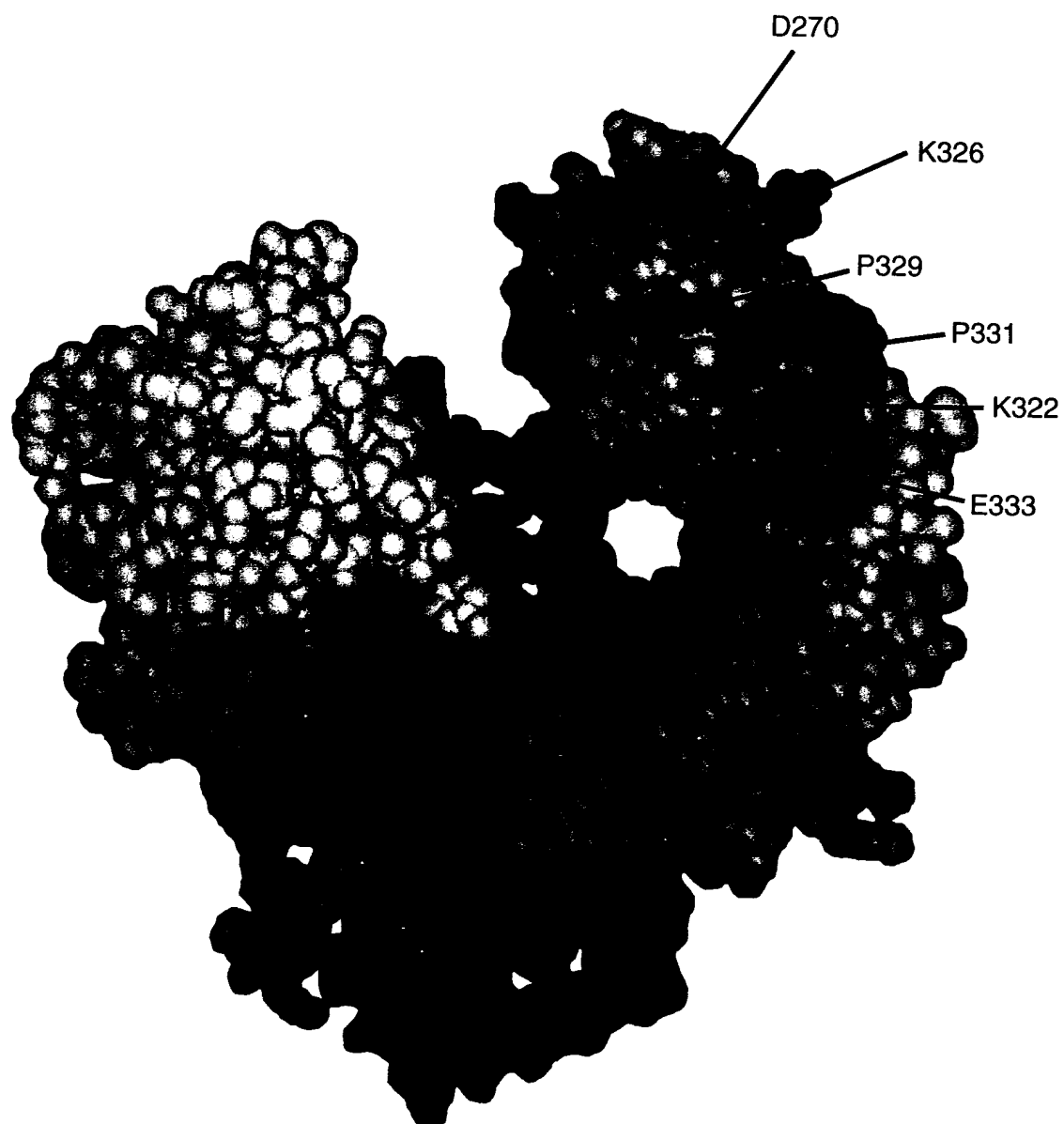
**FIG. 6****FIG. 7**

**FIG. 8**

**FIG. 9**

P1726R1P1

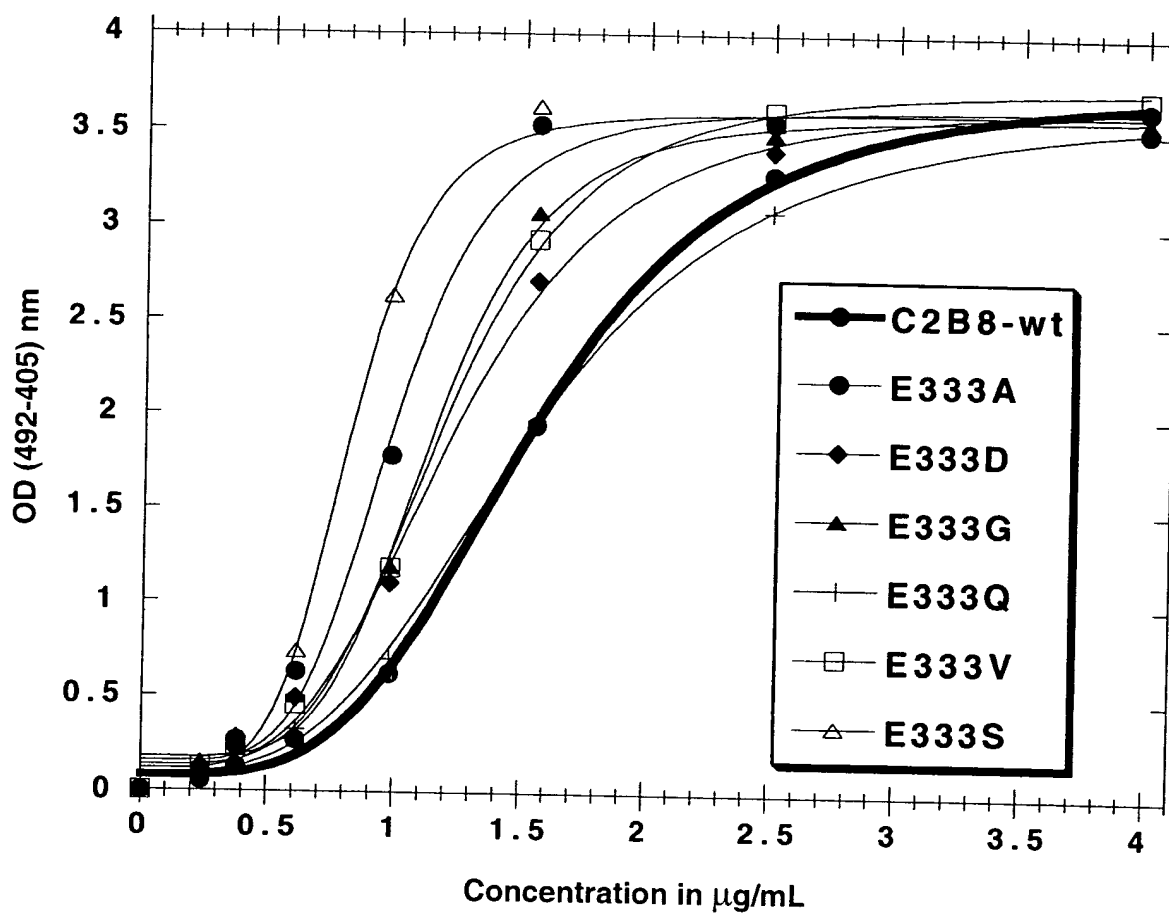
9 / 26

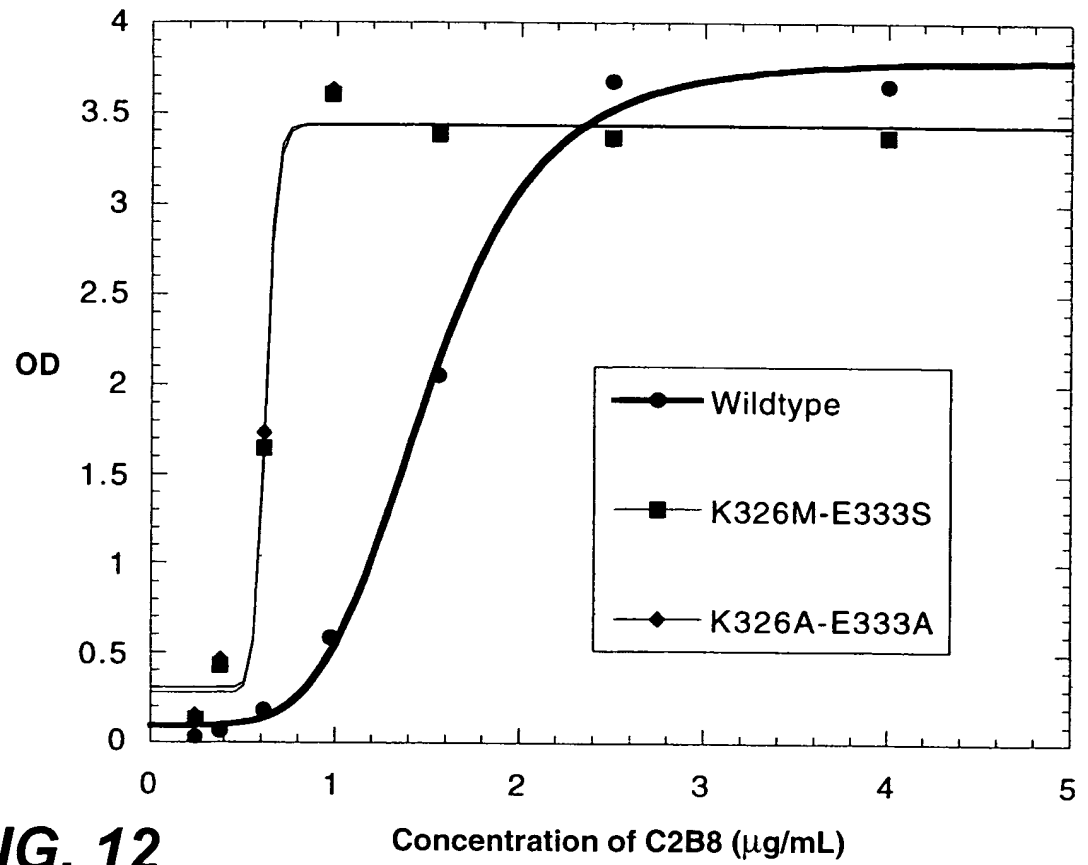
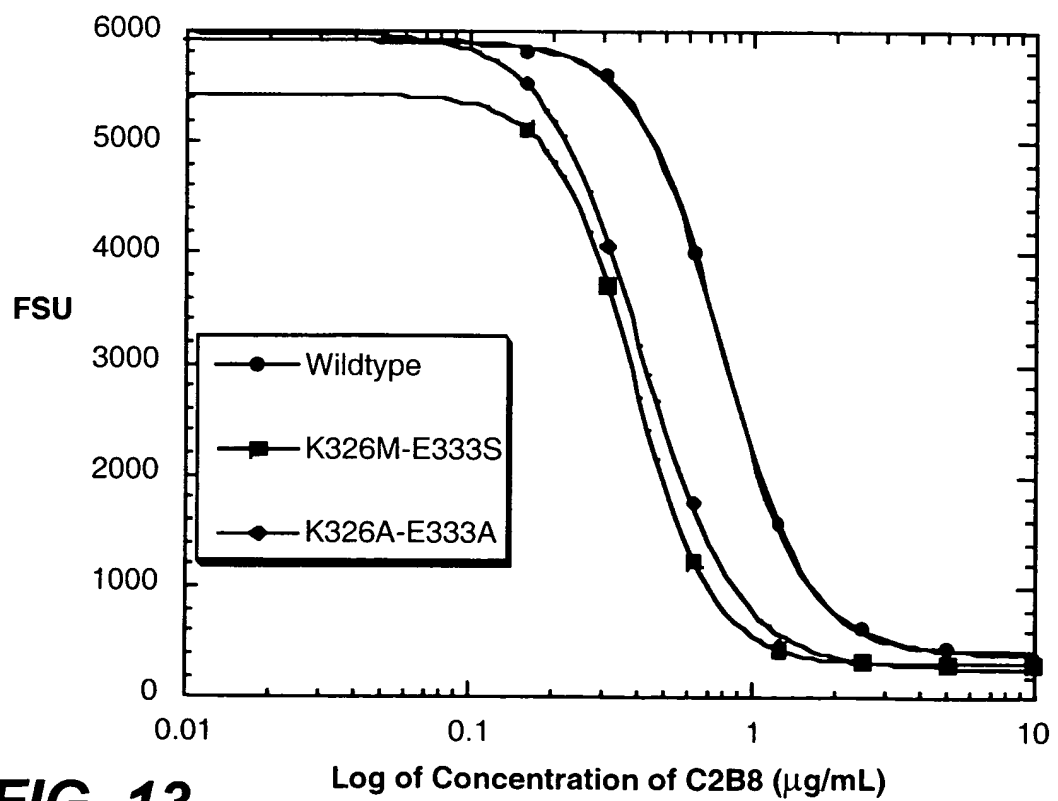


BEST AVAILABLE COPY

FIG. 10

10 / 26

**FIG. 11**

**FIG. 12**

EC50 of wt-C2B8 = 1.54

EC50 of A327g (C2B8) = 1.08

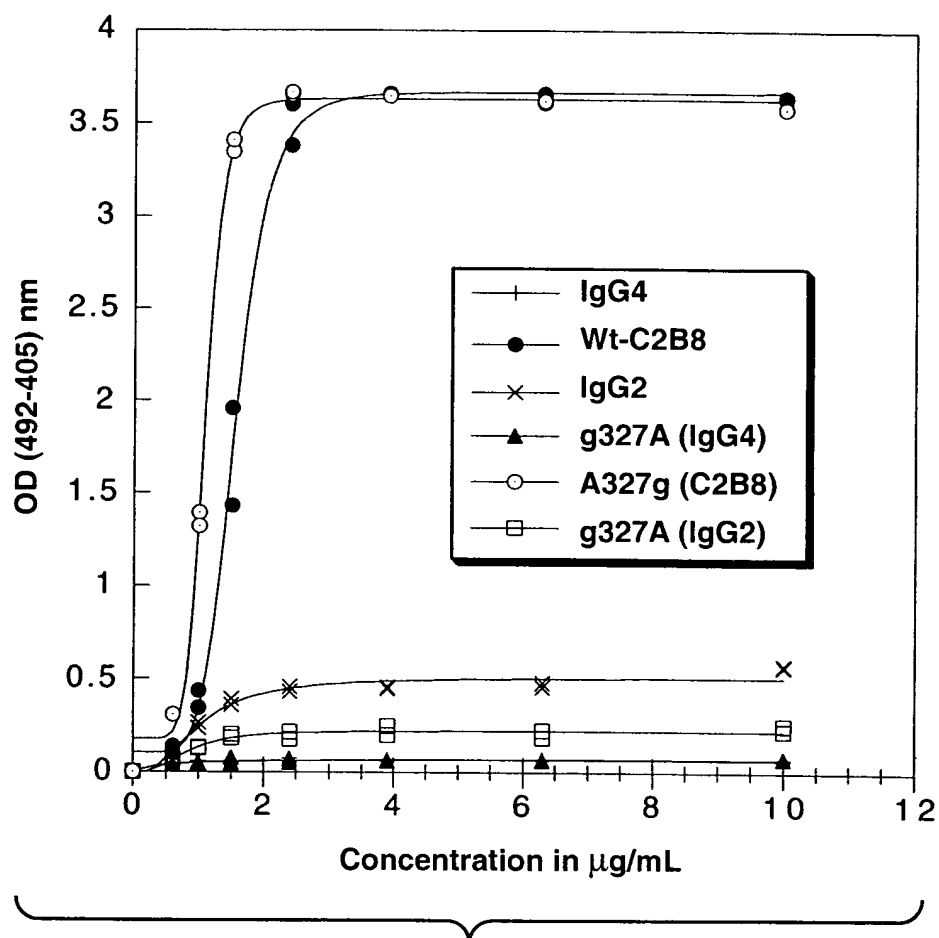
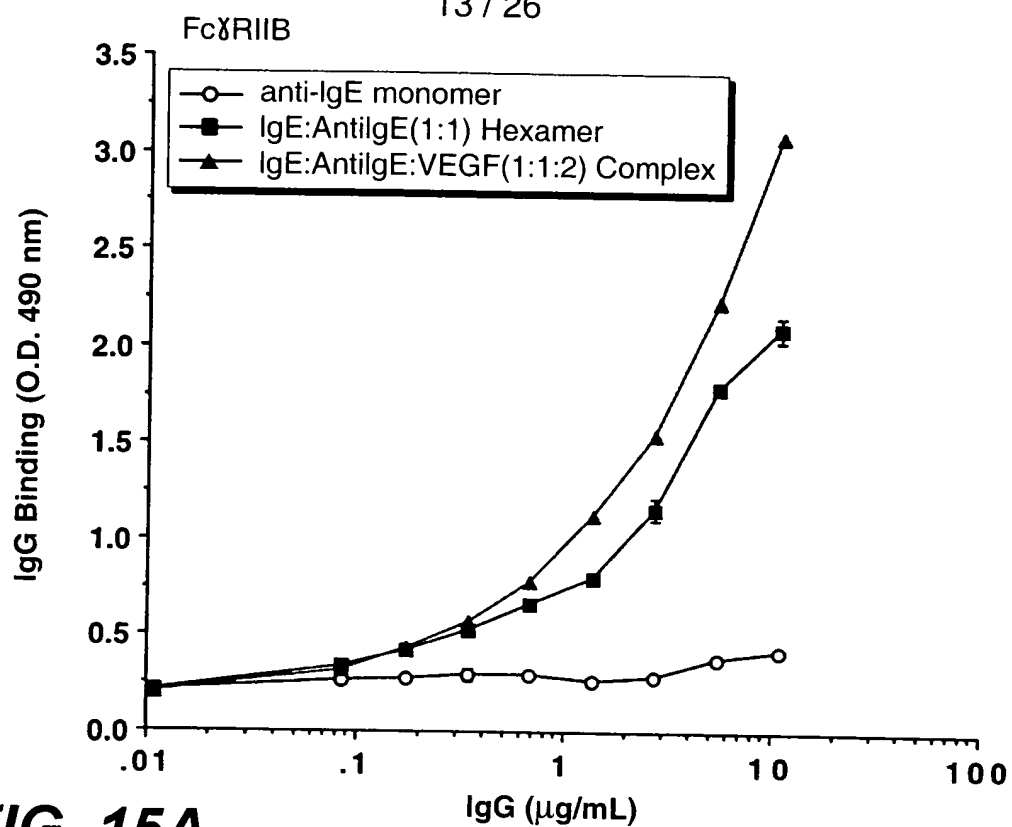
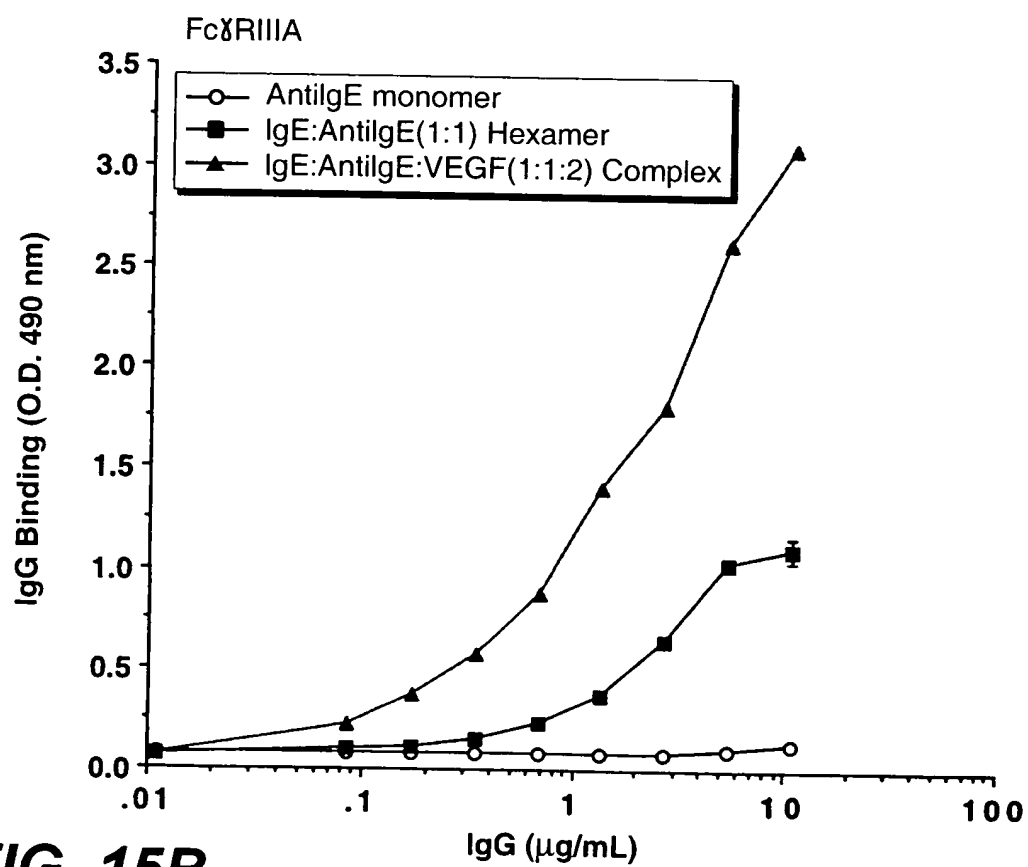


FIG. 14

13 / 26

**FIG. 15A****FIG. 15B**

P1726R1P1

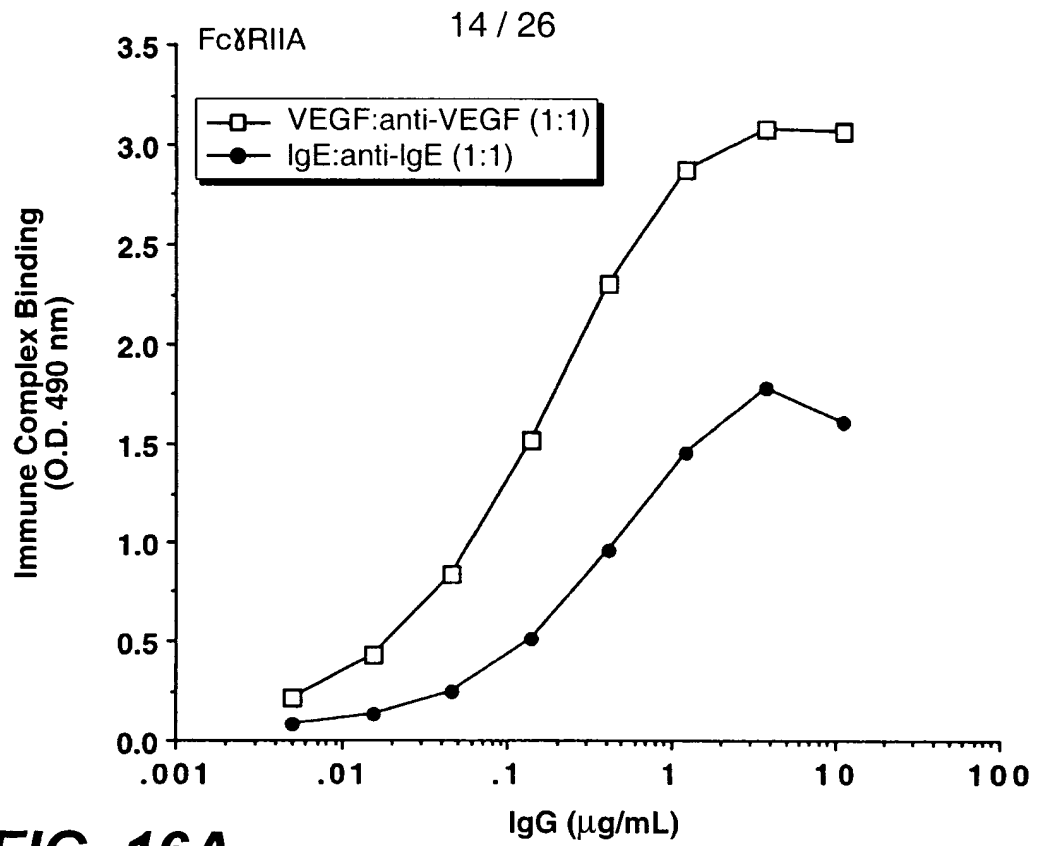


FIG. 16A

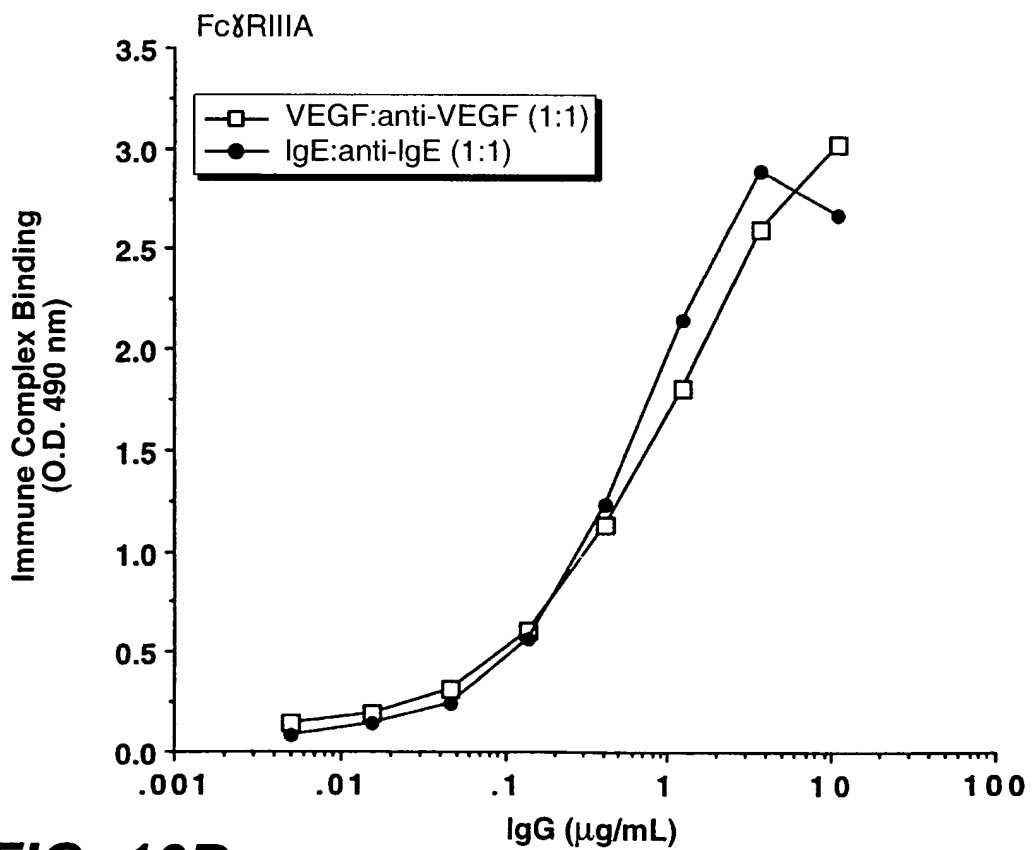
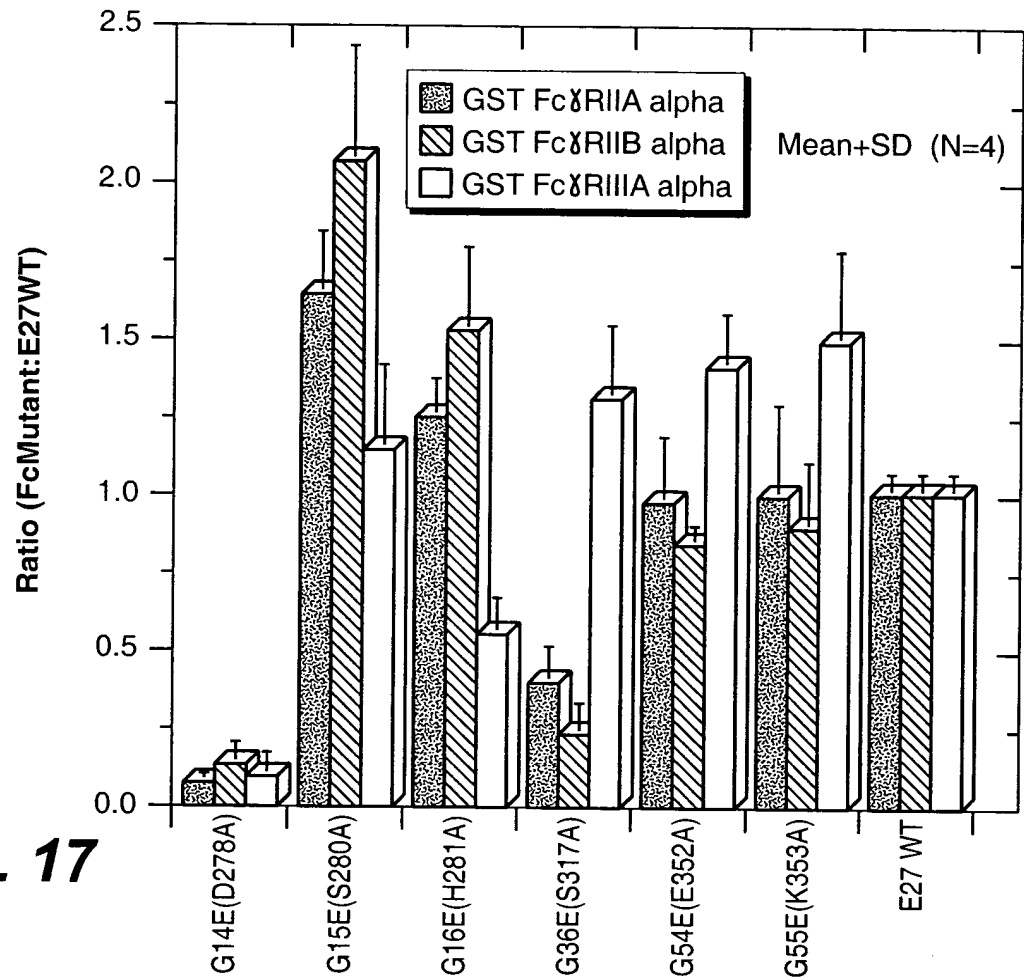


FIG 16R

**FIG. 17**

P1726R1P1

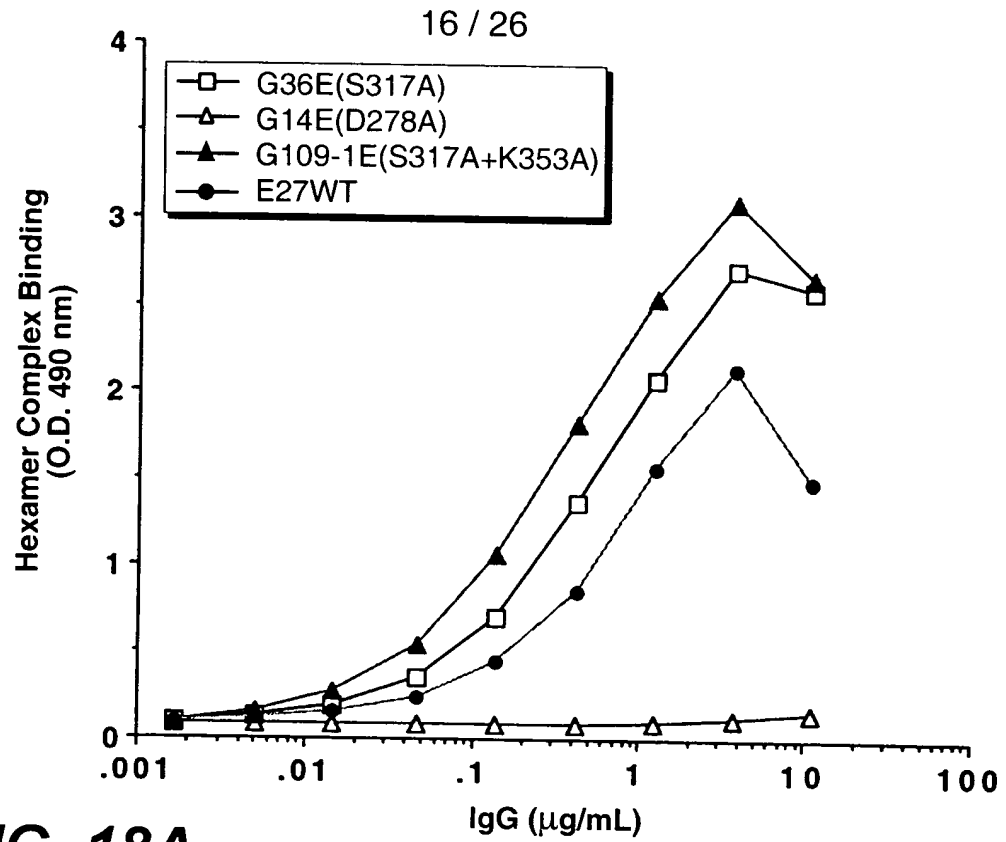


FIG. 18A

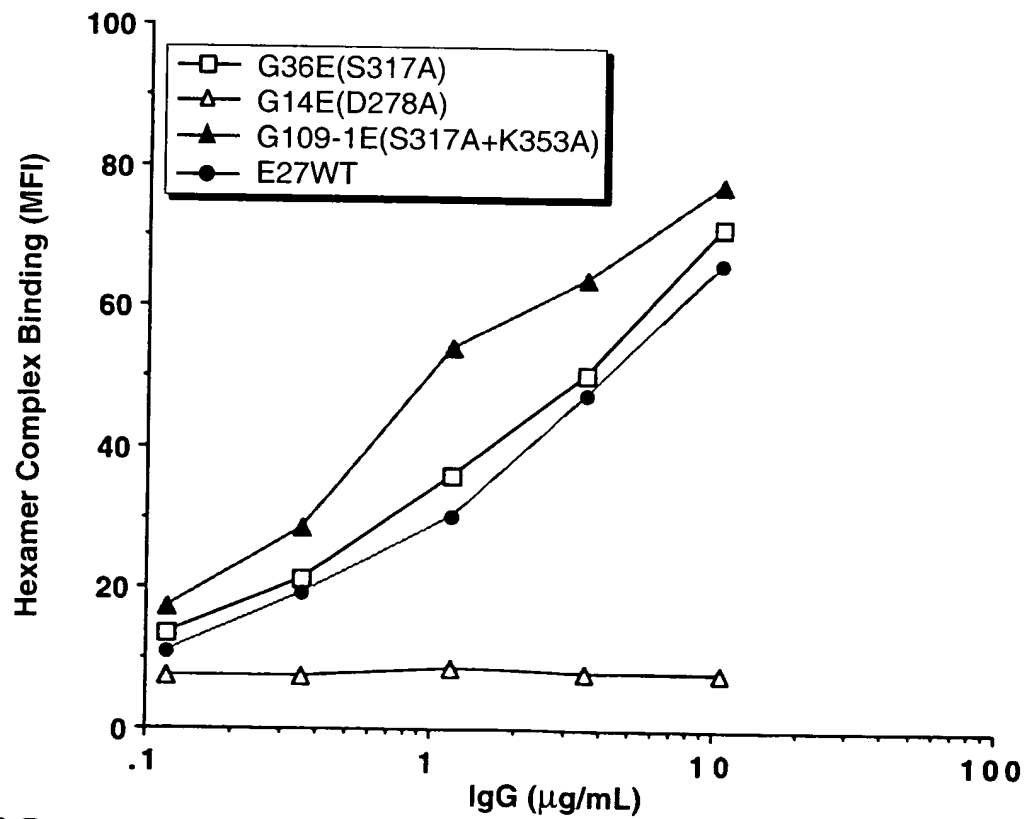
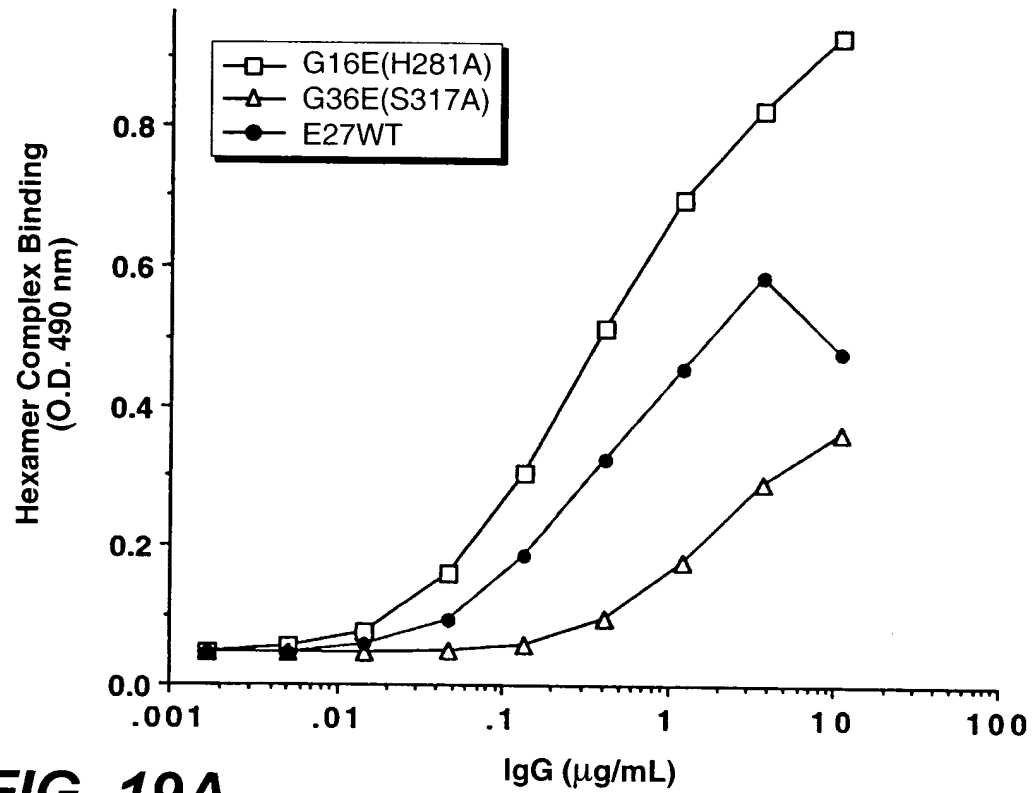
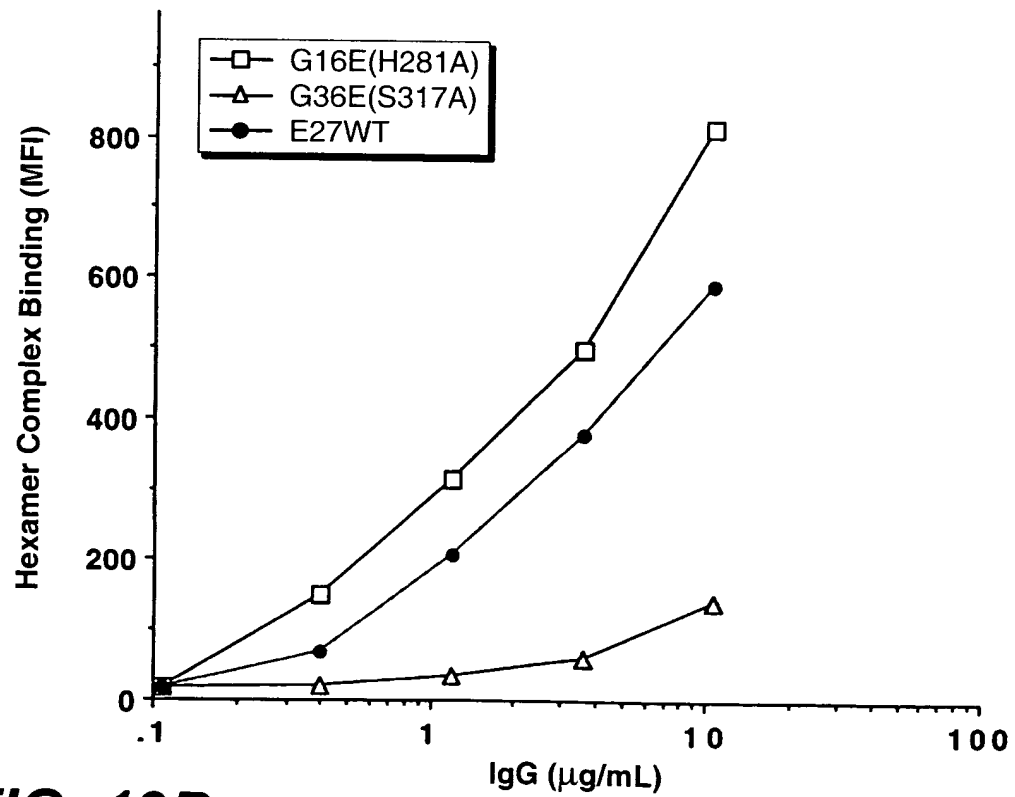
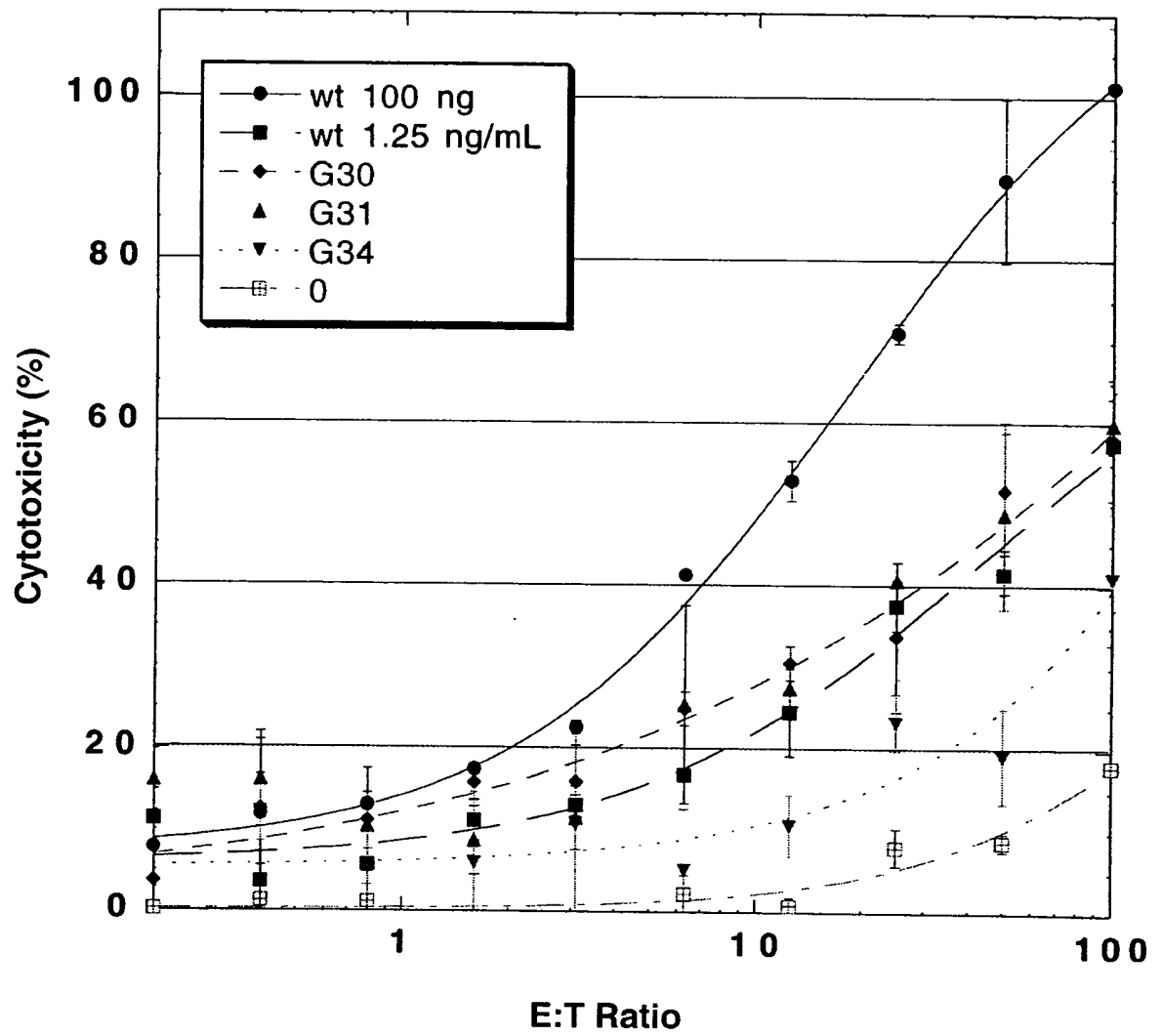
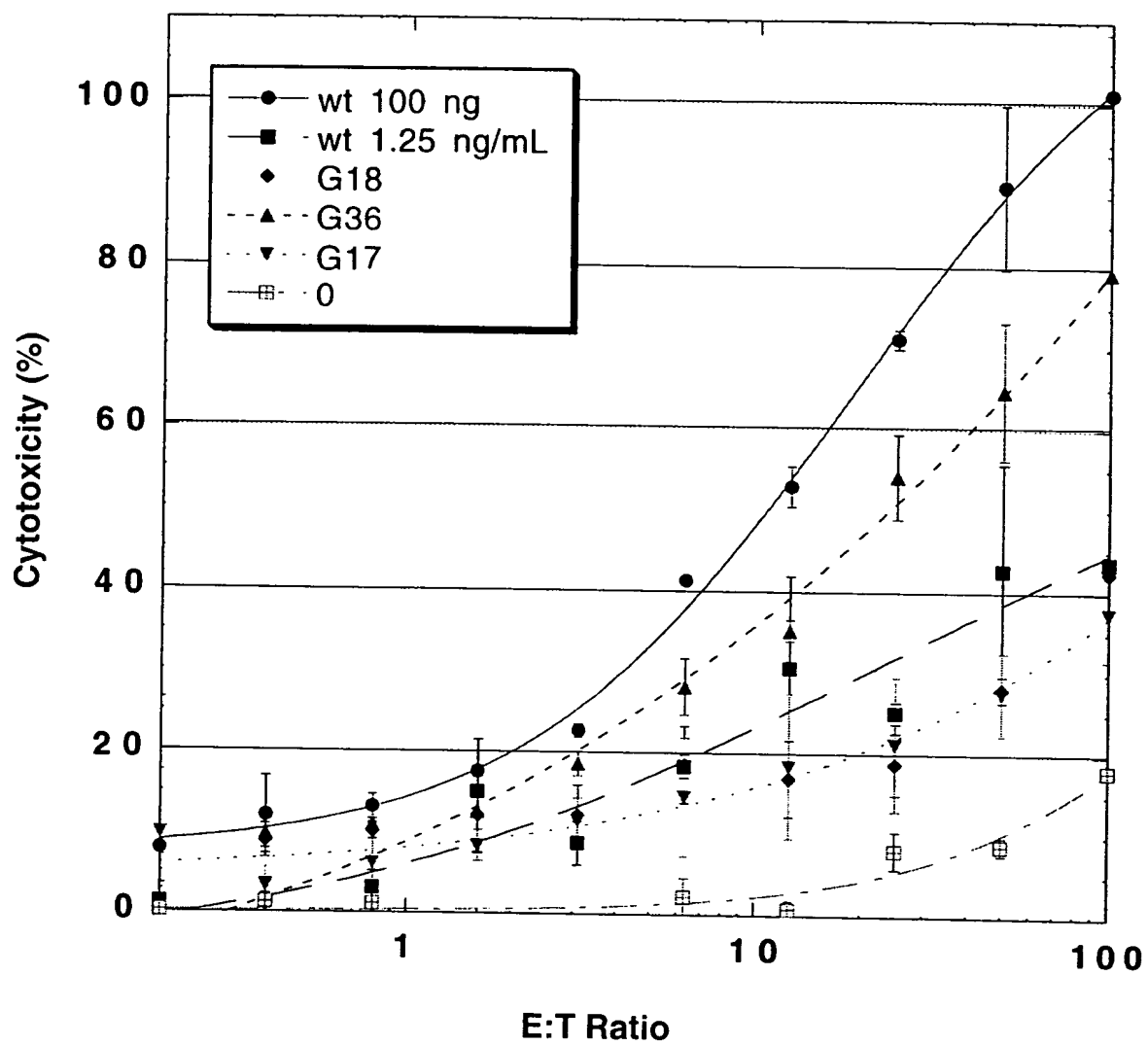


FIG. 18B

**FIG. 19A****FIG. 19B**

**FIG. 20**

**FIG. 21**

	230	240	250	260	270
humIgG1	PAPELLGGPSVFLFPPKPKDTLMISRTPEVTCVVVDVSHEDPEVKFNWYV				
humIgG2	PAP - PVAGPSVFLFPPKPKDTLMISRTPEVTCVVVDVSHEDPEVQFNWYV				
humIgG3	PAPELLGGPSVFLFPPKPKDTLMISRTPEVTCVVVDVSHEDPEVQFKWYV				
humIgG4	PAPEFLGGPSVFLFPPKPKDTLMISRTPEVTCVVVDVSEQEDPEVQFNWYV				
murIgG1	- - - TVPEVSSVFIFPPKPKDVLITITLTPKVTCTVVVDISKDDPEVQFSWFV				
murIgG2A	PAPNLLGGPSVFIFPPKIKDVLMLISLPIVTCVVVDVSEDDPDVQISWFV				
murIgG2B	PAPNLEGGPSVFIFPPNIKDVLMLISLTPKVTCTVVVDVSEDDPDVQISWFV				
murIgG3	PPGNILGGPSVFIFPPKPKDALMISLTPKVTCTVVVDVSEDDPDVHVSWFV				
	280	290	300	310	320
humIgG1	DGVEVHNAKTKPREEQYNSTYRVVSVLTVLHQDWLNGKEYKCKVSNKALP				
humIgG2	DGVEVHNAKTKPREEQFNSTFRVSVLTVVHQDWLNGKEYKCKVSNKGLP				
humIgG3	DGVEVHNAKTKPREEQFNSTFRVSVLTVLHQDWLNGKEYKCKVSNKALP				
humIgG4	DGVEVHNAKTKPREEQFNSTYRVVSVLTVLHQDWLNGKEYKCKVSNKGLP				
murIgG1	DDVEVHTAQTQPREEQFNSTFRSVSELPIMHQDCLNGKEFKCRVNSAAFP				
murIgG2A	NNVEVHTAQTQTHREDYNSTLRVVSALPIQHQDWMMSGKEFKCKVNNKDLP				
murIgG2B	NNVEVHTAQTQTHREDYNSTIRVVSHPPIQHQDWMMSGKEFKCKVNNKDLP				
murIgG3	DNKEVHTAWTQPREAQYNSTFRVVSALPIQHQDWMRGKEFKCKVNNKALP				
	330	340	350	360	370
humIgG1	APIEKTISKAKGQPREPQVYTLPPSREEMTKNQVSLTCLVKGFYPSDIAV				
	D L				
humIgG2	APIEKTISKTKGQPREPQVYTLPPSREEMTKNQVSLTCLVKGFYPSDIAV				
humIgG3	APIEKTISKTKGQPREPQVYTLPPSREEMTKNQVSLTCLVKGFYPSDIAV				
humIgG4	SSIEKTISKAKGQPREPQVYTLPPSQEEMTKNQVSLTCLVKGFYPSDIAV				
murIgG1	APIEKTISKTKGRPKAPQVYTIPPPKEQMAKDQVSLTCMITDFFPEDITV				
murIgG2A	APIERTISKPKGSVRAPQVYVLPPEEEMTKKQVTLTCMVTDFMPEDIYV				
murIgG2B	SPIERTISKPKGLVRAPQVYTLPPPAEQLSRKDVSLTCLVVGFNPGDISV				
murIgG3	APIERTISKPKGRAQTPQVYTIPPPREQMSKKKVSLTCLVTNFFSEAISV				
	380	390	400	410	420
humIgG1	EWESNGQPENNYKTTTPVLDSGDSFFLYSKLTVDKSRWQQGNVFSCSVMH				
humIgG2	EWESNGQPENNYKTTTPMLDSGDSFFLYSKLTVDKSRWQQGNVFSCSVMH				
humIgG3	EWESSGQPENNYNTTPMLDSGDSFFLYSKLTVDKSRWQQGNIFSCSVMH				
humIgG4	EWZSNGQPENNYKTTTPVLDSGDSFFLYSRLTVDKSRWQEGNVFSCSVMH				
murIgG1	EWQWNGQPAENYKNTQPIMDTDGSYFVYSKLVQKSNWEAGNTFTCSVLH				
murIgG2A	EWTNNGKTELNYKNTEPVLDSGDSYFMYSKLRVEKKNWVERNSYSCSVH				
murIgG2B	EWTSNGHTEENYKDTAPVLDSGDSYFIYSKLVNMKTSKWEKTDSEFCNVRH				
murIgG3	EWERNGELEQDYKNTPPILDSGDTYFLYSKLTVDTDTSWLQGEIFTCSVH				
	430	440			
humIgG1	EALHNHYTQKSLSLSPGK				
humIgG2	EALHNHYTQKSLSLSPGK				
humIgG3	EALHNRFTQKSLSLSPGK				
humIgG4	EALHNHYTQKSLSLSLKG				
murIgG1	EGLHNHHTTEKSLSHSPGK				
murIgG2A	EGLHNHHTTKSFRTPGK				
murIgG2B	EGLKNYYLKKTISRSPGK				
murIgG3	EALHNHHTQKNLSRSPGK				

FIG. 22A

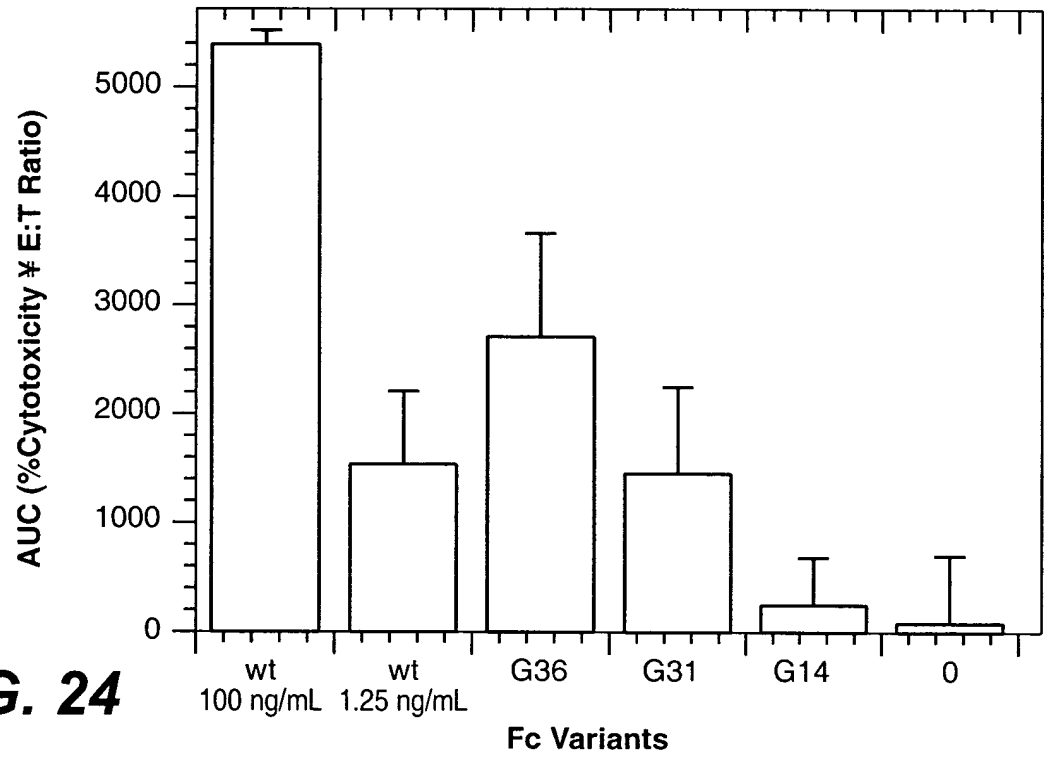
Percent Identity Among Fc Sequences

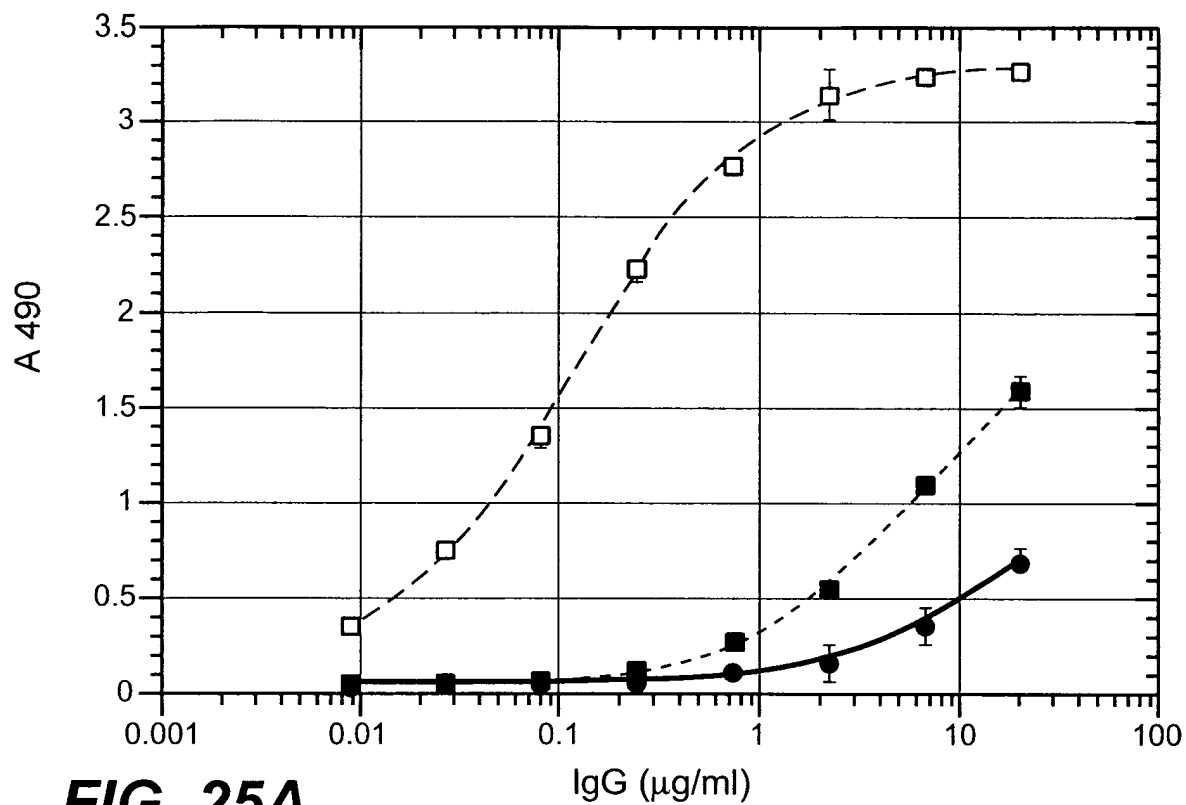
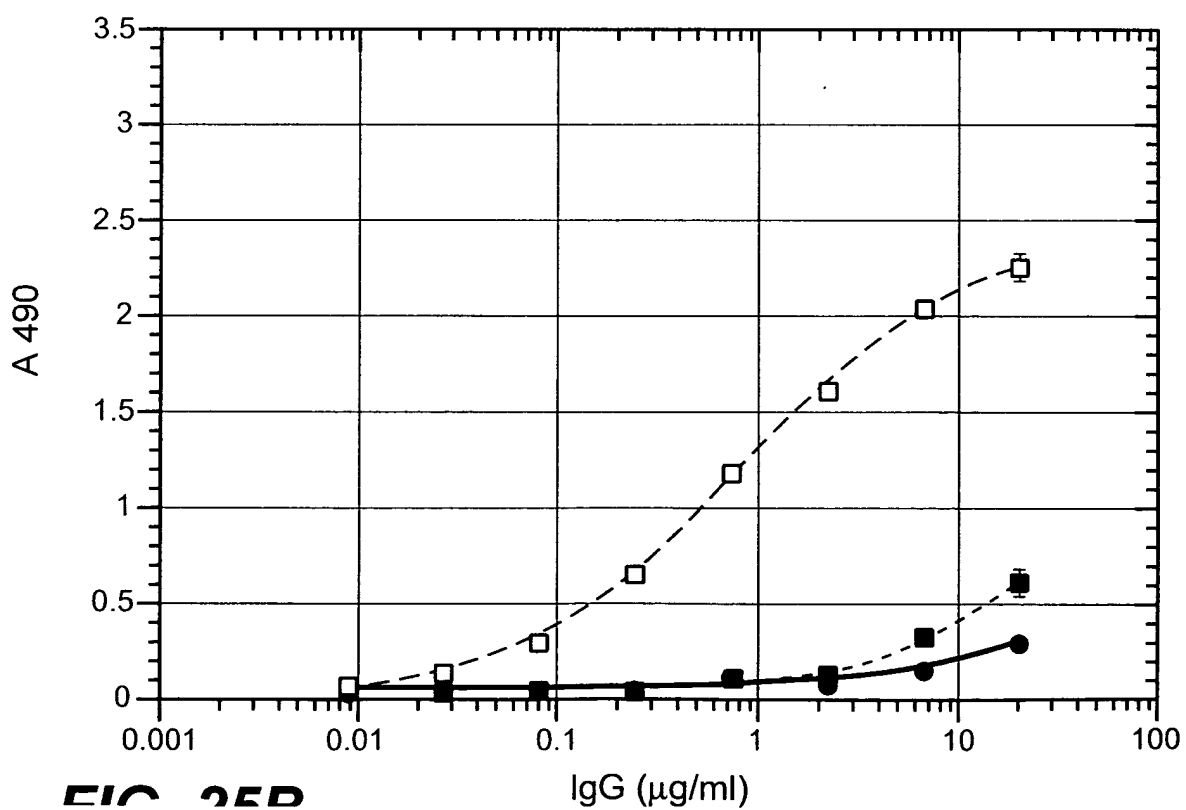
	1	2	3	4	5	6	7	8
1. humIgG1	-	94	94	94	64	66	63	68
2. humIgG2		-	93	92	65	63	60	67
3. humIgG3			-	91	64	64	61	67
4. humIgG4				-	62	64	61	64
5. murIgG1					-	65	61	67
6. murIgG2A						-	77	70
7. murIgG2B							-	68
8. murIgG3								-

FIG. 22B

	230	240	250	260	270
humIgG1	PAPELLGGPSVFLFPPKPKDTLMISRTPEVTCVVVDVSHEDPEVKFNWYV				
humIgG2	PAP - PVAGPSVFLFPPKPKDTLMISRTPEVTCVVVDVSHEDPEVQFNWYV				
humIgG3	PAPELLGGPSVFLFPPKPKDTLMISRTPEVTCVVVDVSHEDPEVQFKWYV				
humIgG4	PAPEFLGGPSVFLFPPKPKDTLMISRTPEVTCVVVDVSQEDPEVQFNWYV				
	****			*	* *
	280	290	300	310	320
humIgG1	DGVEVHNAKTKPREEQYNSTYRVVSVLTVLHQDWLNGKEYKCKVSNKALP				
humIgG2	DGVEVHNAKTKPREEQFNSTFRVVSVLTVVHQDWLNGKEYKCKVSNKGLP				
humIgG3	DGVEVHNAKTKPREEQFNSTFRVVSVLTVLHQDWLNGKEYKCKVSNKALP				
humIgG4	DGVEVHNAKTKPREEQFNSTYRVVSVLTVLHQDWLNGKEYKCKVSNKGLP				
		*	*	*	*
	330	340	350	360	370
humIgG1	APIEKTISKAKGQPREPQVYTLPPSREEMTKNQVSLTCLVKGFYPSDIAV				
				D L	
humIgG2	APIEKTISKTKGQPREPQVYTLPPSREEMTKNQVSLTCLVKGFYPSDIAV				
humIgG3	APIEKTISKTKGQPREPQVYTLPPSREEMTKNQVSLTCLVKGFYPSDIAV				
humIgG4	SSI EKTISKAKGQPREPQVYTLPPSQEEMTKNQVSLTCLVKGFYPSDIAV				
	**	*		*	
	380	390	400	410	420
humIgG1	EWESNGQPENNYKTTTPVLDSGDSFFLYSKLTVDKSRWQQGNVFSCSVMH				
humIgG2	EWESNGQPENNYKTTTPMLDSGDSFFLYSKLTVDKSRWQQGNVFSCSVMH				
humIgG3	EWESSGQPENNYNTTPMLDSGDSFFLYSKLTVDKSRWQQGNIFSCSVMH				
humIgG4	EWESNGQPENNYKTTTPVLDSGDSFFLYSRLTVDKSRWQEGNVFSCSVMH				
	*	*	*	*	* *
	430	440			
humIgG1	EALHNHYTQKSLSLSPGK				
humIgG2	EALHNHYTQKSLSLSPGK				
humIgG3	EALHNRFTQKSLSLSPGK				
humIgG4	EALHNHYTQKSLSLSPGK				
	**	*			

FIG. 23



**FIG. 25A****FIG. 25B**

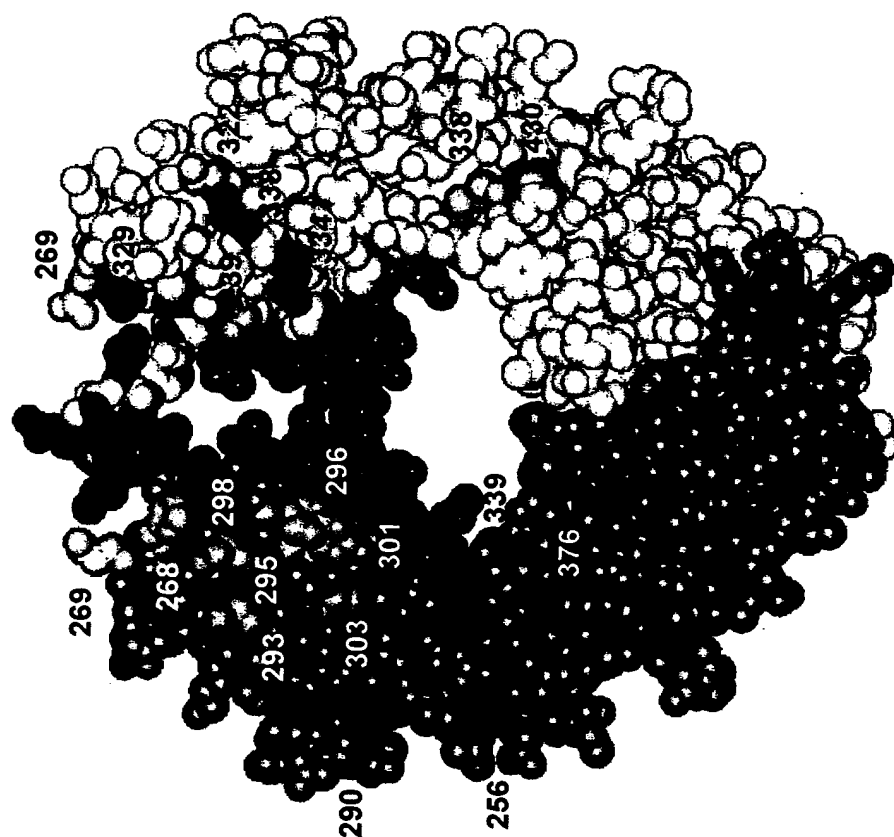


FIG. 26B

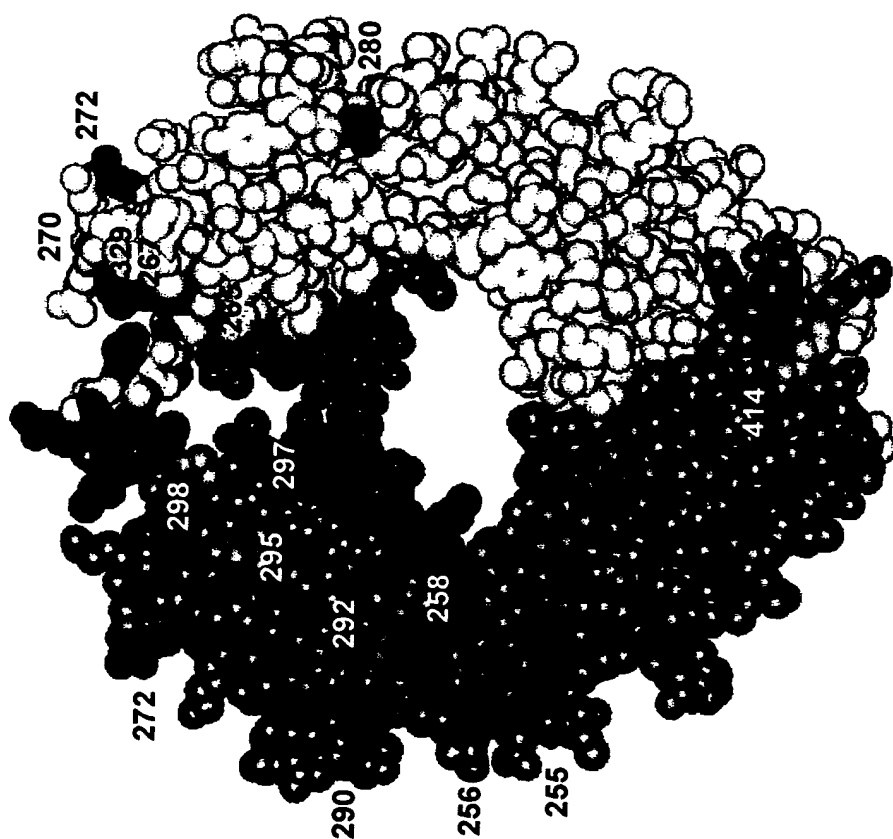


FIG. 26A

P1726R1P1

25 / 26

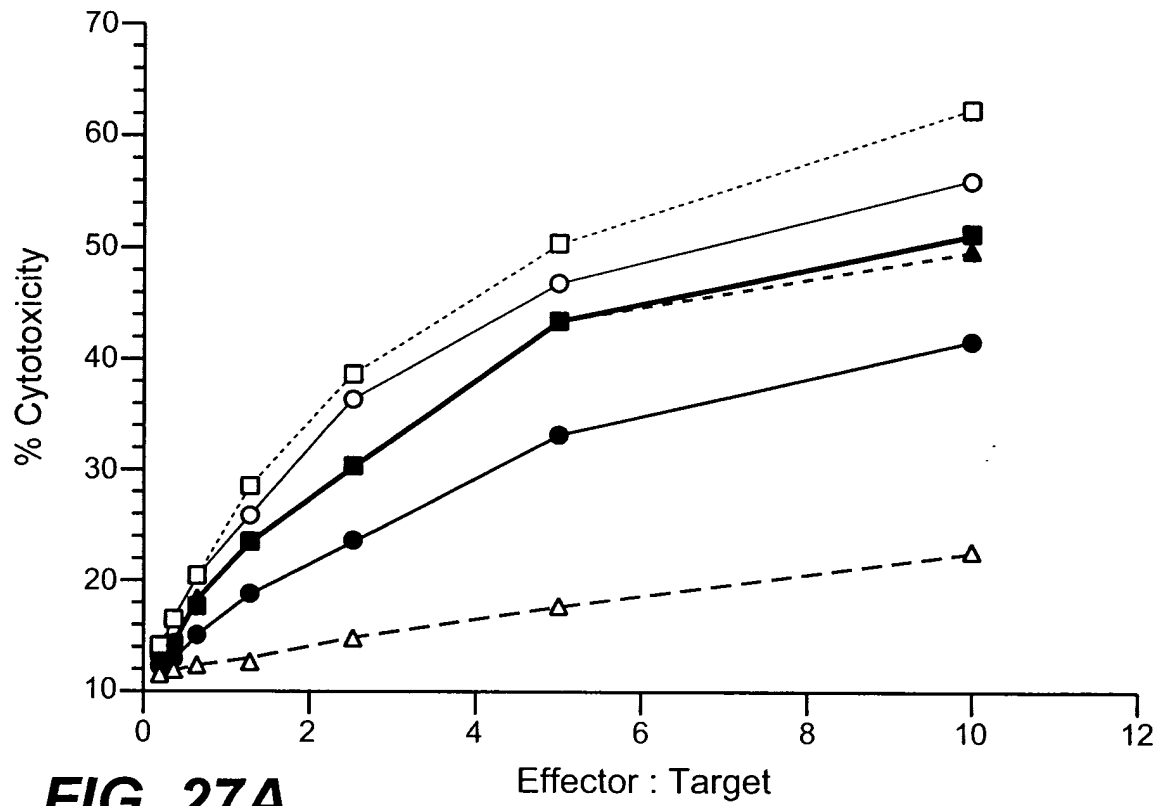


FIG. 27A

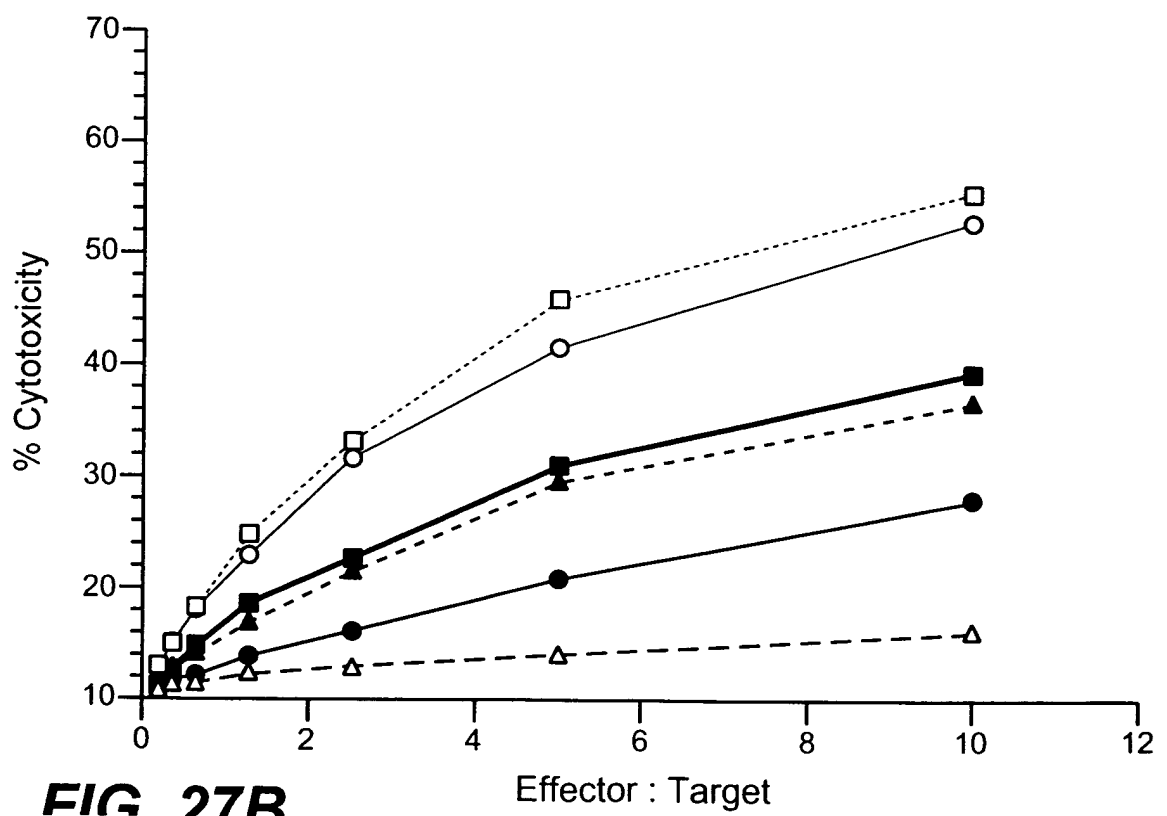
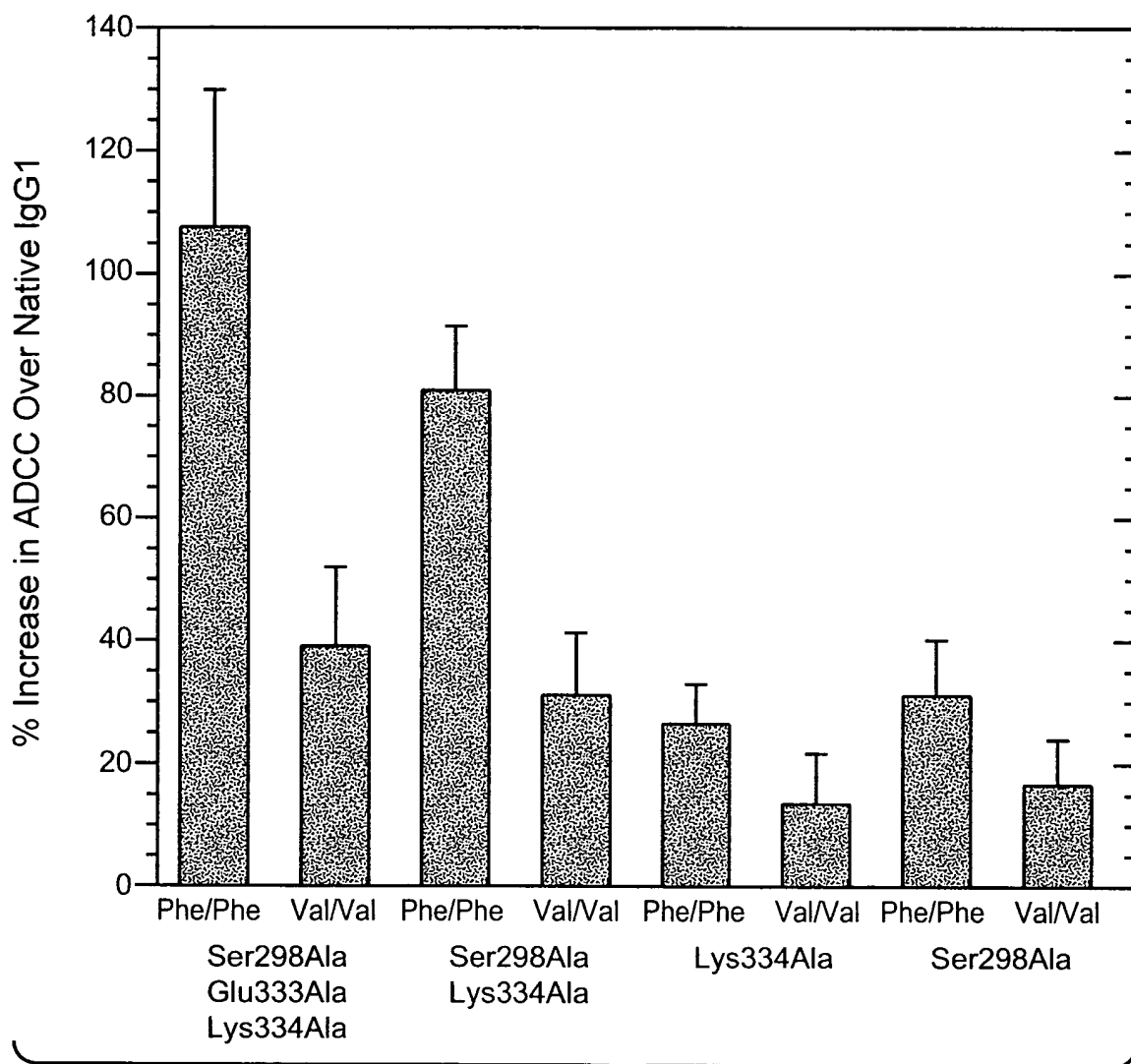


FIG. 27R

**FIG. 27C**